

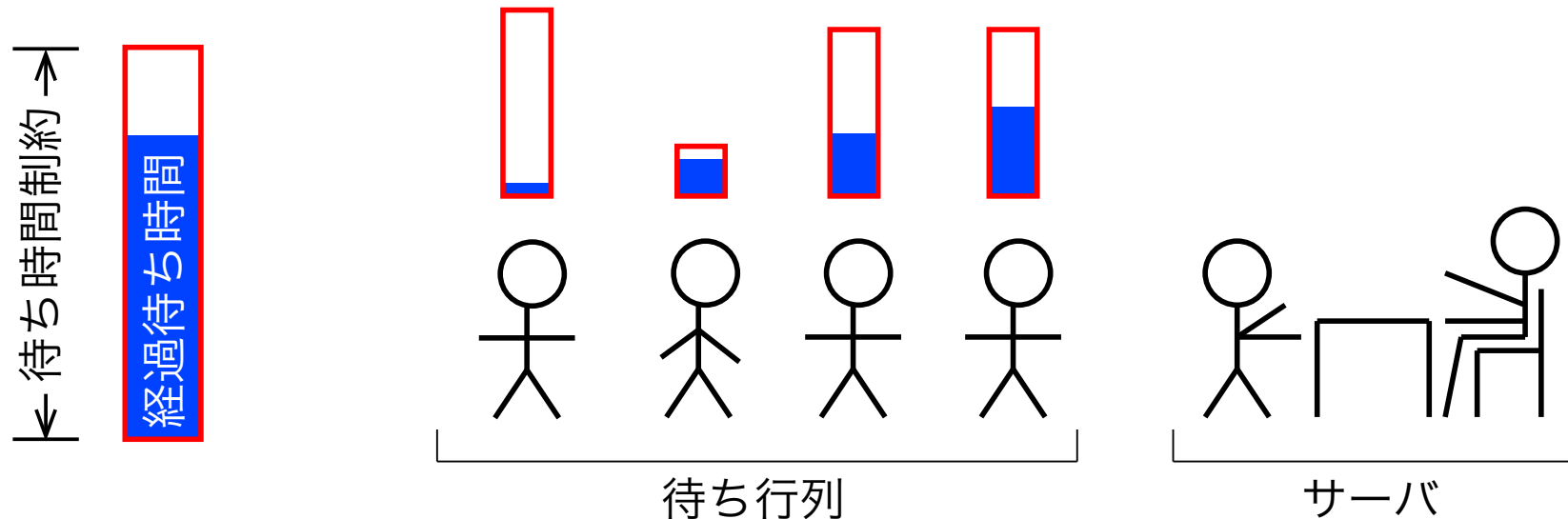
M/G/1+PH 待ち行列における 系内客数分布の数値計算法

井上 文彰

大阪大学工学研究科
電気電子情報工学専攻

待ち時間制約のある待ち行列モデル

- 待ち時間が長すぎると、客はサービスを受けずに離脱する



- (例) 遅延制約のあるデータ通信, コールセンタ
- ケンドールの記法

$$A / B / c + W$$

到着間隔 サービス サーバ数 待ち時間
 時間

考察するモデル (M/G/1+PH)

- 客の到着は率 λ のポアソン過程に従う
- サービス時間は分布関数 $H(x)$ (平均 $E[H]$) に従って i.i.d.
 - ◆ 簡単のため $H(0) = 0$ を仮定

- 待ち時間制約は相型分布 $(\boldsymbol{\alpha}, \boldsymbol{T})$ に従って i.i.d.
 - ◆ 補分布関数 $\bar{G}(x) = \boldsymbol{\alpha} \exp[\boldsymbol{T}x] \boldsymbol{e}$

$\boldsymbol{\alpha}$: 確率ベクトル, \boldsymbol{T} : 劣無限小生成作用素

\boldsymbol{e} : 要素が全て 1 の列ベクトル

- $E[G]$: 平均待ち時間制約長

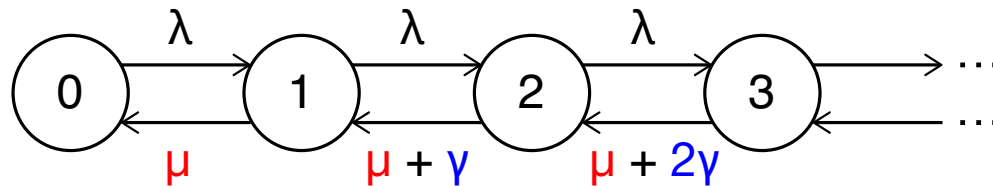
$$E[G] = \boldsymbol{\alpha}(-\boldsymbol{T})^{-1} \boldsymbol{e} < \infty \quad \Rightarrow \quad \text{系は常に安定 [Baccelli et al. (1984)]}$$

系内客数 L

本発表では、 $M/G/1+PH$ の定常系内客数 L を考察

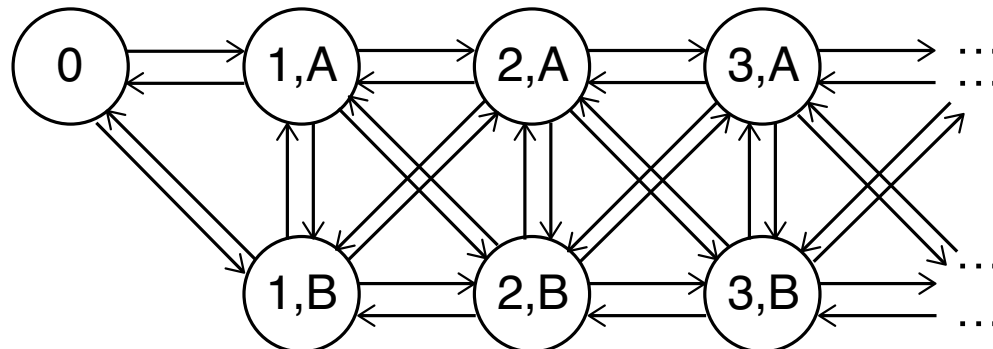
- L : 系内に滞在中である客の総数
 - ◆ 将来的に途中退去する客を含める

(例 1) $M/M/1+M$ の系内客数過程



(レベル依存)
出生死滅過程

(例 2) $M/PH/1+M$ の系内客数過程 (客数, サービスの相)



(レベル依存)
準出生死滅過程

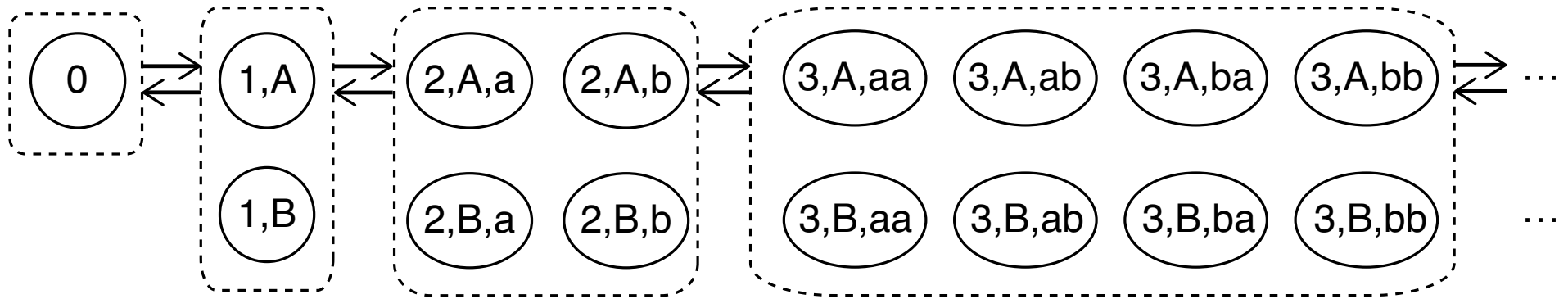
系内客数 L

本発表では、 $M/G/1+PH$ の定常系内客数 L を考察

(例 3) $M/PH/1+PH$ の系内客数過程

(客数, サービスの相, 待ち時間制約の相)

(レベル依存)
準出生死滅過程



- 系内客数が増えるに従い、背後状態数が指数関数的に増大
 - ➡ 定常分布を直接計算することは極めて困難

発表の概要

- M/G/1+PH における系内客数分布の数値計算法を考察
 - ◆ M/G/1+PH の仮待ち時間に対する結果 [井上, 滝根 (2015)]
 - ◆ 仮待ち時間分布による系内客数分布の表現
 - ➡ 系内客数分布の計算を, 無限次元の行列計算に帰着
- 計算機上で実行可能な切断近似法を考察
 - ◆ 特に, **切断誤差の上界**を導出
- 最後に, いくつかの数値例を示す

M/G/1+PH の仮待ち時間

仮待ち時間分布

- 定常仮待ち時間 V : 系内に滞在中であり, かつ最終的にサービスを受ける客の残余サービス時間の総和
 - ◆ 将来的に途中退去する客の仕事は含まない
 - V の分布は次の二つの量で表現される
 - ◆ π_0 : 系が空である確率, $v(x)$ ($x > 0$): V の密度関数
- 正規化条件より, $\pi_0 + \int_{0+}^{\infty} v(x) dx = 1$
- 一般の待ち時間制約分布 (M/G/1+G) の下で成り立つ結果
[Baccelli et al. (1984), Kovalenko (1961)]
 - ◆ $v(x)$ はヴォルテラ積分方程式の解として与えられる

M/G/1+G の仮待ち時間分布 [Baccelli et al. (1984)]

$h_e(x)$: サービスの平衡分布の密度

- 確率フローの平衡より, 次式が導かれる ($\rho \triangleq \lambda E[H]$)

$$v(x) = \rho \pi_0 h_e(x) + \rho \int_{0+}^x v(y) \bar{G}(y) h_e(x-y) dy, \quad x > 0$$

➡ この積分方程式から, $v(x)$ ($x > 0$) は一意に定められる

$$v(x) = \pi_0 \sum_{n=1}^{\infty} u(n; x)$$

$$u(1; x) = \rho h_e(x), \quad u(n; x) = \rho \int_{0+}^x u(n-1; y) \bar{G}(y) h_e(x-y) dy, \quad n = 2, 3, \dots$$

- 空である確率 π_0 は, 正規化条件より次式で与えられる

$$\pi_0 = \left[1 + \sum_{n=1}^{\infty} \int_{0+}^{\infty} u(n; x) dx \right]^{-1}$$

M/G/1+PH に特別化した場合 [井上, 滝根 (2015)]

- 待ち時間制約の補分布関数 $\bar{G}(x)$ ($x \geq 0$) を変形

$$\bar{G}(x) = \boldsymbol{\alpha} \exp[\mathbf{T}x] \mathbf{e} = \sum_{m=0}^{\infty} \frac{\exp[-\theta x] (\theta x)^m}{m!} \cdot \bar{g}^{[m]}$$

θ : \mathbf{T} の対角要素の最大の絶対値, $\bar{g}^{[m]} \triangleq \boldsymbol{\alpha} (\mathbf{I} + \theta^{-1} \mathbf{T})^m \mathbf{e}$

- $b_j(k, m)$ および $h_e^{[m]}(j\theta)$ を次式で定義する

$$b_j(k, m) = \binom{k}{m} \left[\frac{j}{j+1} \right]^m \left[\frac{1}{j+1} \right]^{k-m}$$

二項分布 $\left(k, \frac{j}{j+1} \right)$
の確率関数

$$h_e^{[m]}(j\theta) = \int_0^{\infty} \frac{\exp[-j\theta x] (j\theta x)^m}{m!} \cdot h_e(x) dx$$

サービス分布から
計算可能な確率関数

離散化された仮待ち時間

$$v^{[k]}(j\theta) = \int_{0+}^{\infty} \frac{\exp[-j\theta x] (j\theta x)^k}{k!} \cdot v(x) dx$$

以降では、無限次元ベクトル $(x^{[0]}, x^{[1]}, \dots)$ を \mathbf{x}^* と表記する

● $\mathbf{v}^*(j\theta)$ ($j = 1, 2, \dots$) は次式を満たす

$$\mathbf{v}^*(j\theta) = \pi_0 \sum_{n=1}^{\infty} \mathbf{u}^*(n; j\theta)$$

$$\mathbf{u}^*(1; j\theta) = \rho \mathbf{h}_e^*(j\theta), \quad \mathbf{u}^*(n; j\theta) = \mathbf{u}^*(n-1; (j+1)\theta) \cdot \rho \bar{\mathbf{B}}_j \mathbf{H}_{e,j},$$

$n = 2, 3, \dots$

ただし、

$$\bar{\mathbf{B}}_j = \begin{pmatrix} 1 & 0 & 0 & \cdots \\ b_j(1,0)\bar{g}^{[1]} & b_j(1,1) & 0 & \cdots \\ b_j(2,0)\bar{g}^{[2]} & b_j(2,1)\bar{g}^{[1]} & b_j(2,2) & \cdots \\ \vdots & \vdots & \vdots & \ddots \end{pmatrix}, \quad \mathbf{H}_{e,j} = \begin{pmatrix} h_e^{[0]}(j\theta) & h_e^{[1]}(j\theta) & h_e^{[2]}(j\theta) & \cdots \\ 0 & h_e^{[0]}(j\theta) & h_e^{[1]}(j\theta) & \cdots \\ 0 & 0 & h_e^{[0]}(j\theta) & \cdots \\ \vdots & \vdots & \vdots & \ddots \end{pmatrix}$$

離散化された仮待ち時間

$$v^{[k]}(j\theta) = \int_{0+}^{\infty} \frac{\exp[-j\theta x](j\theta x)^k}{k!} \cdot v(x) dx$$

以降では, 無限次元ベクトル $(x^{[0]}, x^{[1]}, \dots)$ を \mathbf{x}^* と表記する

- $\mathbf{v}^*(j\theta)$ ($j = 1, 2, \dots$) は次式を満たす

$$\mathbf{v}^*(j\theta) = \pi_0 \sum_{n=1}^{\infty} \mathbf{u}^*(n; j\theta)$$

$$\mathbf{u}^*(1; j\theta) = \rho \mathbf{h}_e^*(j\theta), \quad \mathbf{u}^*(n; j\theta) = \mathbf{u}^*(n-1; (j+1)\theta) \cdot \rho \bar{\mathbf{B}}_j \mathbf{H}_{e,j},$$

$n = 2, 3, \dots$

$$v(x) = \pi_0 \sum_{n=1}^{\infty} u(n; x)$$

$$u(1; x) = \rho h_e(x), \quad u(n; x) = \int_{0+}^x u(n-1; y) \rho \bar{G}(y) h_e(x-y) dy, \quad n = 2, 3, \dots$$

離散化された仮待ち時間

$$v^{[k]}(j\theta) = \int_{0+}^{\infty} \frac{\exp[-j\theta x](j\theta x)^k}{k!} \cdot v(x) dx$$

以降では、無限次元ベクトル $(x^{[0]}, x^{[1]}, \dots)$ を \mathbf{x}^* と表記する

- $\mathbf{v}^*(j\theta)$ ($j = 1, 2, \dots$) は次式を満たす

$$\mathbf{v}^*(j\theta) = \pi_0 \sum_{n=1}^{\infty} \mathbf{u}^*(n; j\theta)$$

$$\mathbf{u}^*(1; j\theta) = \rho \mathbf{h}_e^*(j\theta), \quad \mathbf{u}^*(n; j\theta) = \mathbf{u}^*(n-1; (j+1)\theta) \cdot \rho \bar{\mathbf{B}}_j \mathbf{H}_{e,j},$$

$n = 2, 3, \dots$

➡ π_0 は次式で与えられる

$$\pi_0 = \left[1 + \sum_{n=1}^{\infty} \mathbf{u}^*(n; j\theta) \mathbf{e} \right]^{-1}$$

[井上, 滝根 (2015)] では, π_0 に対する誤差上界付きの計算法を考案

M/G/1+PH の系内客数分布

待ち客数 \hat{L}

サーバが稼働中 ($L > 0$) である期間に注目

- A : Attained waiting time

- ◆ サービス中の客の経過滞在時間

- ◆ A の密度関数は仮待ち時間密度 $\nu(x)$ と一致

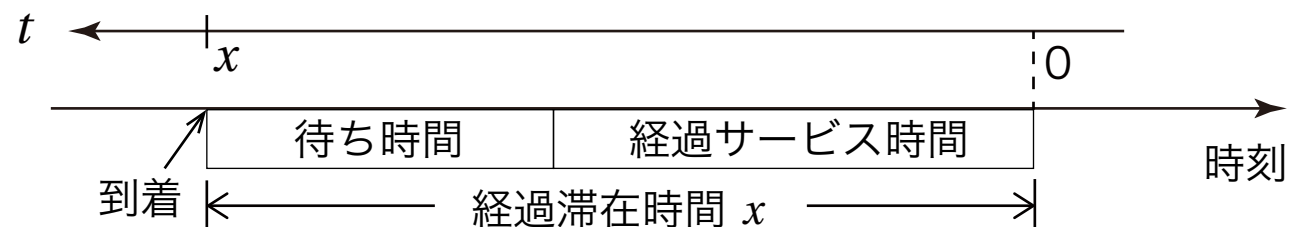
[Sakasegawa and Wolff (1990)]

- \hat{L} : 系内で待っている客の数

- ◆ A の間に到着して、まだ途中退去していない客数に等しい

- ◆ $\hat{\pi}_\ell \triangleq \Pr(\hat{L} = \ell, \text{客がサービス中})$

現時点で残っている待ち客だけに注目すると、
到着率 $\lambda \bar{G}(t)$ の非斉時ポアソン到着と等価



待ち客数 \hat{L}

\hat{L} : 系内で待っている客の数, $\hat{\pi}_\ell \triangleq \Pr(\hat{L} = \ell, \text{客がサービス中})$

$\nu(x)$: 仮待ち時間の密度関数

- 以上の観察から, 次式が得られる

$$\hat{\pi}_\ell = \int_{0+}^{\infty} p_\ell(x) \nu(x) dx$$

ただし,

$$p_\ell(x) = \sum_{m=\ell}^{\infty} \frac{\exp[-\lambda E[G]] (\lambda E[G])^m}{m!} \cdot \binom{m}{\ell} \{G_e(x)\}^\ell \{\bar{G}_e(x)\}^{m-\ell}$$

$G_e(x), \bar{G}_e(x)$: 待ち時間制約の平衡分布の分布関数, 補分布関数

$$\left(\text{参考: } \sum_{\ell=0}^{\infty} z^\ell p_\ell(x) = \exp \left[\lambda(z-1) \int_0^x \bar{G}(t) dt \right] \right)$$

待ち客数 \hat{L}

\hat{L} : 系内で待っている客の数, $\hat{\pi}_\ell \triangleq \Pr(\hat{L} = \ell, \text{客がサービス中})$

$\nu(x)$: 仮待ち時間の密度関数

- 以上の観察から, 次式が得られる

$$\hat{\pi}_\ell = \int_{0+}^{\infty} p_\ell(x) \nu(x) dx$$

ただし,

$$p_\ell(x) = \sum_{m=\ell}^{\infty} \frac{\exp[-\lambda E[G]] (\lambda E[G])^m}{m!} \cdot K_{m,\ell}(x)$$

$$K_{m,\ell}(x) \triangleq \binom{m}{\ell} \{G_e(x)\}^\ell \{\bar{G}_e(x)\}^{m-\ell}, \quad \ell = 0, 1, \dots, m, \quad m = 0, 1, \dots$$

待ち客数 \hat{L}

$$\hat{\pi}_\ell = \sum_{m=\ell}^{\infty} \frac{\exp[-\lambda E[G]] (\lambda E[G])^m}{m!} \int_{0+}^{\infty} K_{m,\ell}(x) v(x) dx$$

- 前述の通り，仮待ち時間密度 $v(x)$ は次式で与えられる

$$v(x) = \pi_0 \sum_{n=1}^{\infty} u(n; x)$$

$$u(1; x) = \rho h_e(x), \quad u(n; x) = \rho \int_{0+}^x u(n-1; y) \bar{G}(y) h_e(x-y) dy, \quad n = 2, 3, \dots$$

$$\Rightarrow \hat{\pi}_\ell = \pi_0 \sum_{m=\ell}^{\infty} \frac{\exp[-\lambda E[G]] (\lambda E[G])^m}{m!} \sum_{n=1}^{\infty} \int_{0+}^{\infty} K_{m,\ell}(x) u(n; x) dx$$

待ち客数 \hat{L}

$$\hat{\pi}_\ell = \sum_{m=\ell}^{\infty} \frac{\exp[-\lambda E[G]] (\lambda E[G])^m}{m!} \int_{0+}^{\infty} K_{m,\ell}(x) v(x) dx$$

- 前述の通り，仮待ち時間密度 $v(x)$ は次式で与えられる

$$v(x) = \pi_0 \sum_{n=1}^{\infty} u(n; x)$$

$$u(1; x) = \rho h_e(x), \quad u(n; x) = \rho \int_{0+}^x u(n-1; y) \bar{G}(y) h_e(x-y) dy, \quad n = 2, 3, \dots$$

$$\rightarrow \hat{\pi}_\ell = \pi_0 \sum_{m=\ell}^{\infty} \frac{\exp[-\lambda E[G]] (\lambda E[G])^m}{m!} \sum_{n=1}^{\infty} \hat{r}_{m,\ell}(n)$$

$$\hat{r}_{m,\ell}(n) \triangleq \int_{0+}^{\infty} K_{m,\ell}(x) u(n; x) dx$$

系内客数 L

$$\hat{\pi}_\ell = \pi_0 \sum_{m=\ell}^{\infty} \frac{\exp[-\lambda E[G]] (\lambda E[G])^m}{m!} \sum_{n=1}^{\infty} \hat{r}_{m,\ell}(n)$$

- 系内客数分布 π_ℓ (系内客数 = 待ち客数 + 1)

$$\pi_\ell = \hat{\pi}_{\ell-1}$$

$$= \pi_0 \cdot \sum_{m=\ell-1}^{\infty} \frac{\exp[-\lambda E[G]] (\lambda E[G])^m}{m!} \sum_{n=1}^{\infty} \hat{r}_{m,\ell-1}(n)$$

$$\triangleq r_\ell$$

正規化条件より, π_ℓ ($\ell = 0, 1, \dots$) は次式で定められる

$$\pi_0 = \left[1 + \sum_{\ell=1}^{\infty} r_\ell \right]^{-1}, \quad \pi_\ell = \pi_0 r_\ell, \quad \ell = 1, 2, \dots$$

系内容数 L

$$u(1; x) = \rho h_e(x), \quad u(n; x) = \rho \int_{0+}^x u(n-1; y) \bar{G}(y) h_e(x-y) dy, \quad n = 2, 3, \dots$$

● 以上をまとめると,

$$\pi_0 = \left[1 + \sum_{\ell=1}^{\infty} r_{\ell} \right]^{-1}, \quad \pi_{\ell} = \pi_0 r_{\ell}, \quad \ell = 1, 2, \dots$$

ただし,

$$r_{\ell} = \sum_{m=\ell-1}^{\infty} \frac{\exp[-\lambda E[G]] (\lambda E[G])^m}{m!} \sum_{n=1}^{\infty} \hat{r}_{m, \ell-1}(n)$$

$$\hat{r}_{m, \ell}(n) = \int_{0+}^{\infty} K_{m, \ell}(x) u(n; x) dx \quad \left(K_{m, \ell}(x) = \binom{m}{\ell} \{G_e(x)\}^{\ell} \{\bar{G}_e(x)\}^{m-\ell} \right)$$

M/G/1+PH に特別化した場合

- 待ち時間制約の補分布 $\bar{G}(x)$

$$\bar{G}(x) = \boldsymbol{\alpha} \exp[\mathbf{T}x] \mathbf{e} = \sum_{m=0}^{\infty} \frac{\exp[-\theta x] (\theta x)^m}{m!} \cdot \bar{g}^{[m]}$$

- $G_e(x)$ と $\bar{G}_e(x)$ も同様に、一様化によって書き換えられる

$$G_e(x) = \sum_{m=0}^{\infty} \frac{\exp[-\theta x] (\theta x)^m}{m!} \cdot g_e^{[m]}, \quad \bar{G}_e(x) = \sum_{m=0}^{\infty} \frac{\exp[-\theta x] (\theta x)^m}{m!} \cdot \bar{g}_e^{[m]}$$

ただし,

$$g_e^{[0]} = 0, \quad g_e^{[m]} = \sum_{k=0}^{m-1} \frac{\bar{g}^{[k]}}{\theta E[G]}, \quad m = 1, 2, \dots$$

$$\bar{g}_e^{[m]} = 1 - g_e^{[m]}, \quad m = 0, 1, \dots$$

$K_{m,\ell}(x)$ の離散化

$$\hat{r}_{m,\ell}(n) = \int_{0+}^{\infty} K_{m,\ell}(x) u(n; x) dx, \quad K_{m,\ell}(x) = \binom{m}{\ell} \{G_e(x)\}^{\ell} \{\bar{G}_e(x)\}^{m-\ell}$$

- $K_{m,\ell}(x)$ は次の形で表される ($\kappa_{m,\ell}^{[i]}$ の求め方は後述)

$$K_{m,\ell}(x) = \sum_{i=0}^{\infty} \frac{\exp[-m\theta x] (m\theta x)^i}{i!} \cdot \kappa_{m,\ell}^{[i]}$$

- $\boldsymbol{\kappa}_{m,\ell}^*$: $\kappa_{m,\ell}^{[i]}$ を第 i 要素とする縦ベクトル

$$\Rightarrow \hat{r}_{m,\ell}(n) = \mathbf{u}^*(n; m\theta) \boldsymbol{\kappa}_{m,\ell}^*$$

$$\left(\begin{array}{l} \text{前述の通り, } \mathbf{u}^*(n; m\theta) \text{ は漸化式を用いて求められる} \\ \mathbf{u}^*(1; j\theta) = \rho \mathbf{h}_e^*(j\theta), \quad \mathbf{u}^*(n; j\theta) = \rho \mathbf{u}^*(n-1; (j+1)\theta) \bar{\mathbf{B}}_j \mathbf{H}_{e,j}, \\ n = 2, 3, \dots \end{array} \right)$$

$K_{m,\ell}(x)$ の離散版 $\kappa_{m,\ell}^*$

- $\kappa_{1,0}^* = \overline{\mathbf{g}}_e^*$, $\kappa_{1,1}^* = \mathbf{g}_e^*$ および次の漸化式より $\kappa_{m,\ell}^*$ は定められる

$$\kappa_{m,0}^* = \overline{\mathbf{B}}_{\mathbf{g},m} \kappa_{m-1,0}^*$$

$$\kappa_{m,\ell}^* = \overline{\mathbf{B}}_{\mathbf{g},m} \kappa_{m-1,\ell}^* + \mathbf{B}_{\mathbf{g},m} \kappa_{m-1,\ell-1}^*, \quad \ell = 1, 2, \dots, m-1$$

$$\kappa_{m,m}^* = \mathbf{B}_{\mathbf{g},m} \kappa_{m-1,m-1}^*$$

ただし,

$$\overline{\mathbf{B}}_{\mathbf{g},m} = \begin{pmatrix} 1 & 0 & 0 & \cdots \\ b_m(1,0)\overline{g}_e^{[1]} & b_m(1,1) & 0 & \cdots \\ b_m(2,0)\overline{g}_e^{[2]} & b_m(2,1)\overline{g}_e^{[1]} & b_m(2,2) & \cdots \\ \vdots & \vdots & \vdots & \ddots \end{pmatrix}, \quad \mathbf{B}_{\mathbf{g},m} = \begin{pmatrix} 0 & 0 & 0 \cdots \\ b_m(1,0)g_e^{[1]} & 0 & 0 \cdots \\ b_m(2,0)g_e^{[2]} & b_m(2,1)g_e^{[1]} & 0 \cdots \\ \vdots & \vdots & \vdots \ddots \end{pmatrix}$$

$\kappa_{m,\ell}^*$ の計算における注意点

$$\kappa_{1,0}^* = \overline{\mathbf{g}}_e^*, \quad \kappa_{1,1}^* = \mathbf{g}_e^*$$

$$\kappa_{m,0}^* = \overline{\mathbf{B}}_{\mathbf{g},m} \kappa_{m-1,0}^*$$

$$\kappa_{m,\ell}^* = \overline{\mathbf{B}}_{\mathbf{g},m} \kappa_{m-1,\ell}^* + \mathbf{B}_{\mathbf{g},m} \kappa_{m-1,\ell-1}^*, \quad \ell = 1, 2, \dots, m-1$$

$$\kappa_{m,m}^* = \mathbf{B}_{\mathbf{g},m} \kappa_{m-1,m-1}^*$$

- $\kappa_{m,\ell}^*$ は無限次元 ($\infty \times 1$) のベクトル

- ◆ 実際に計算を行なう際、有限サイズで近似することが必要

- しかし、定義より、任意の m について次式が成立

$$\sum_{\ell=0}^m \kappa_{m,\ell}^* = \mathbf{e} \quad (\ell \text{ について足し上げると、全ての要素が } 1 \text{ になる})$$

➡ $\kappa_{m,\ell}^*$ を高精度に有限次元近似することは困難

$\kappa_{m,\ell}^*$ に対する切断近似法

- 数値計算で最終的に求めるのは、系内客数分布 π_ℓ
 - ◆ $\hat{r}_{m,\ell}(n) = \mathbf{u}^*(n; m\theta) \kappa_{m,\ell}^*$ を良い精度で計算できれば十分
- $\mathbf{u}^*(n; m\theta)$ は確率ベクトル
 - ◆ 要素数を大きく取れば、有限次元ベクトルで近似可能
 $\mathbf{u}^*(n; m\theta) \simeq (\text{有限次元ベクトル}, \mathbf{0})$
 - ➡ $\hat{r}_{m,\ell}(n)$ の計算では、 $\kappa_{m,\ell}$ も有限の要素数しか用いずにすむ
- 実際の計算手順では、 $\kappa_{m,\ell}$ の切断サイズ k^* を入力に取る
($\mathbf{u}^*(n; m\theta)$ を陽に求めないため)
 - ◆ k^* の大きさが適切かは、次に述べる誤差上界で事後評価

誤差上界

$$\pi_0 = \left[1 + \sum_{\ell=1}^{\infty} r_{\ell} \right]^{-1}, \quad \pi_{\ell} = \pi_0 r_{\ell}, \quad \ell = 1, 2, \dots$$

- r_{ℓ}^{comp} : 数値計算で得られる, r_{ℓ} に対する近似値
 - ◆ $r_{\ell}^{\text{comp}} \leq r_{\ell}$ ($\ell = 1, 2, \dots$) が成立

r_{ℓ}^{comp} を用いて π_{ℓ} の近似値 π_{ℓ}^{comp} を計算すると, 次式が成立

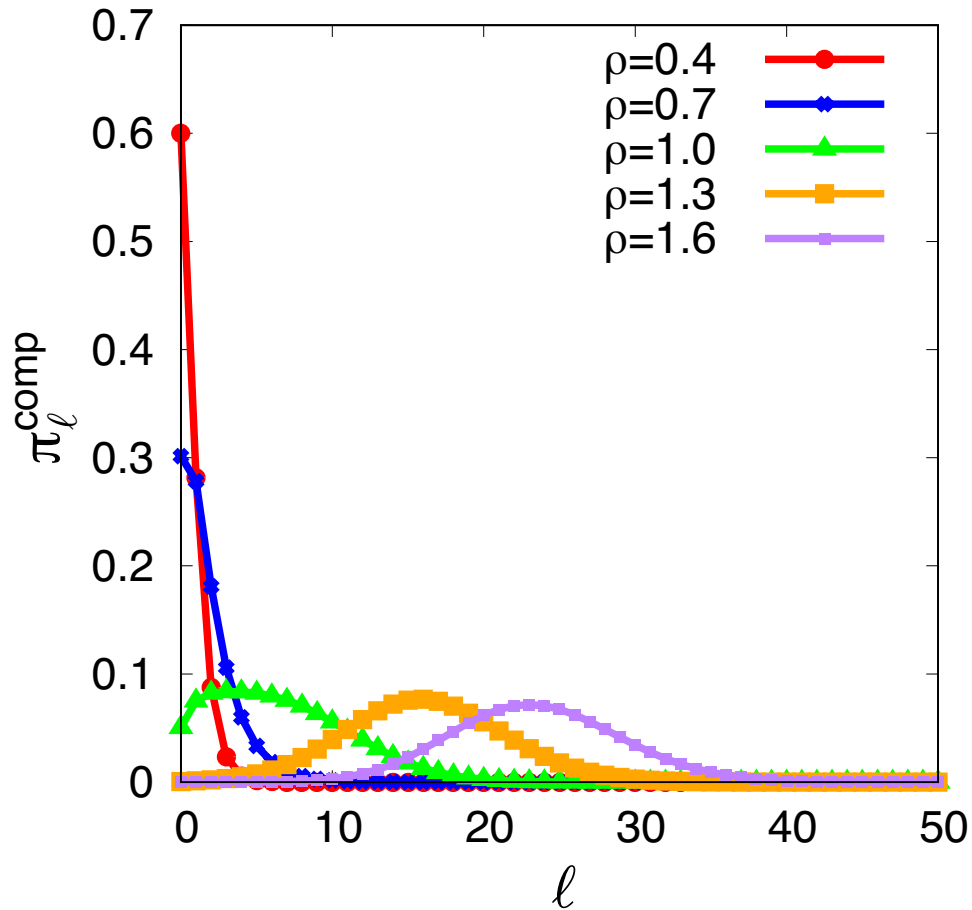
$$|\pi_{\ell}^{\text{comp}} - \pi_{\ell}| \leq 1 - \frac{\pi_0}{\pi_0^{\text{comp}}}, \quad \ell = 1, 2, \dots$$

- π_0 に対する, 計算可能な下界値 π_0^{low} [井上, 滝根 (2015)] を利用
 - ➡ π_{ℓ} ($\ell = 1, 2, \dots$) に対する, 単一の誤差上界が得られる

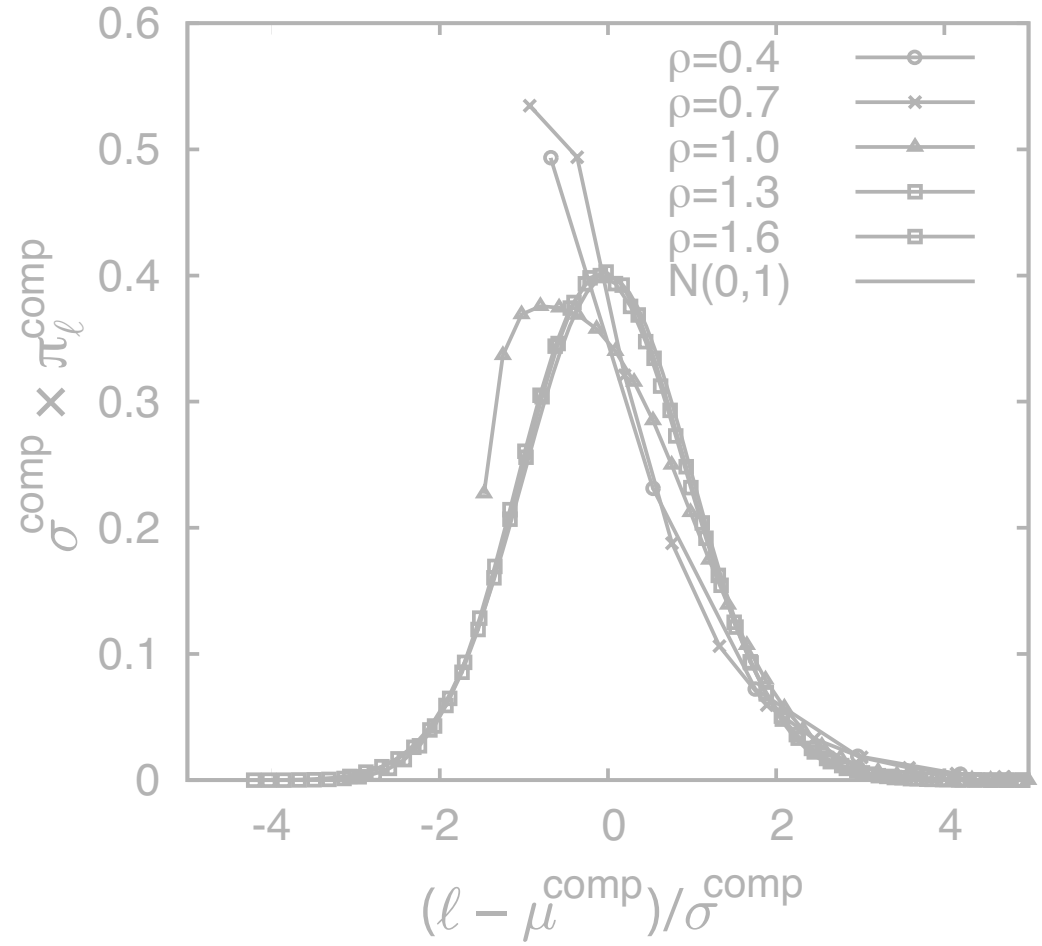
数值例

M/Er₅/1+Er₅ 待ち行列 (E[H] = 1, E[G] = 20)

系内客数分布

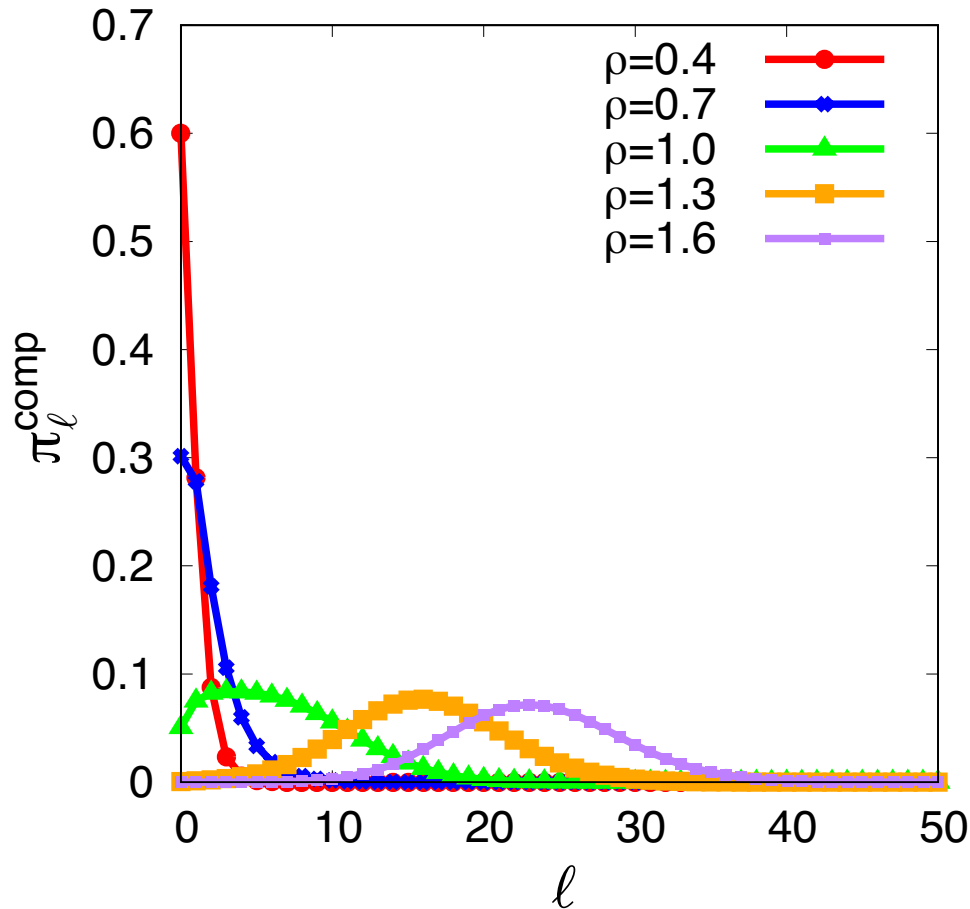


標準化した系内客数

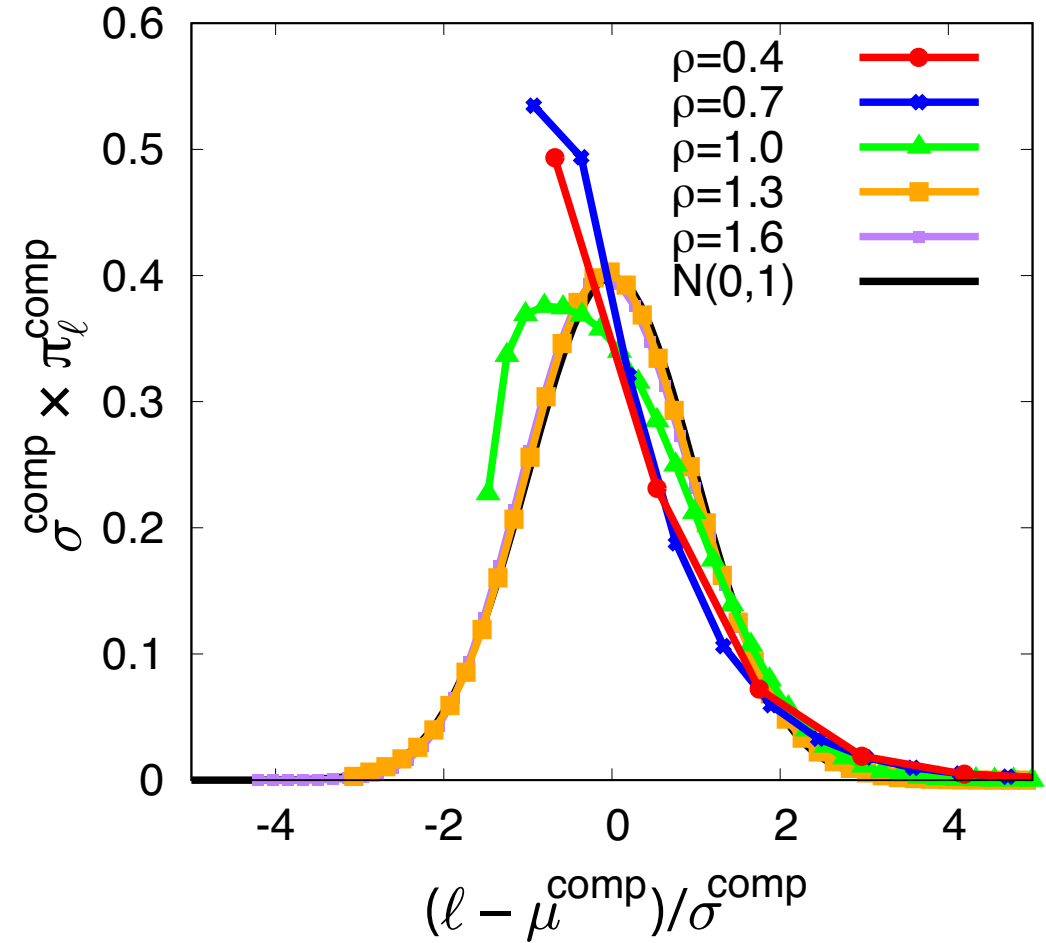


M/Er₅/1+Er₅ 待ち行列 (E[H] = 1, E[G] = 20)

系内客数分布



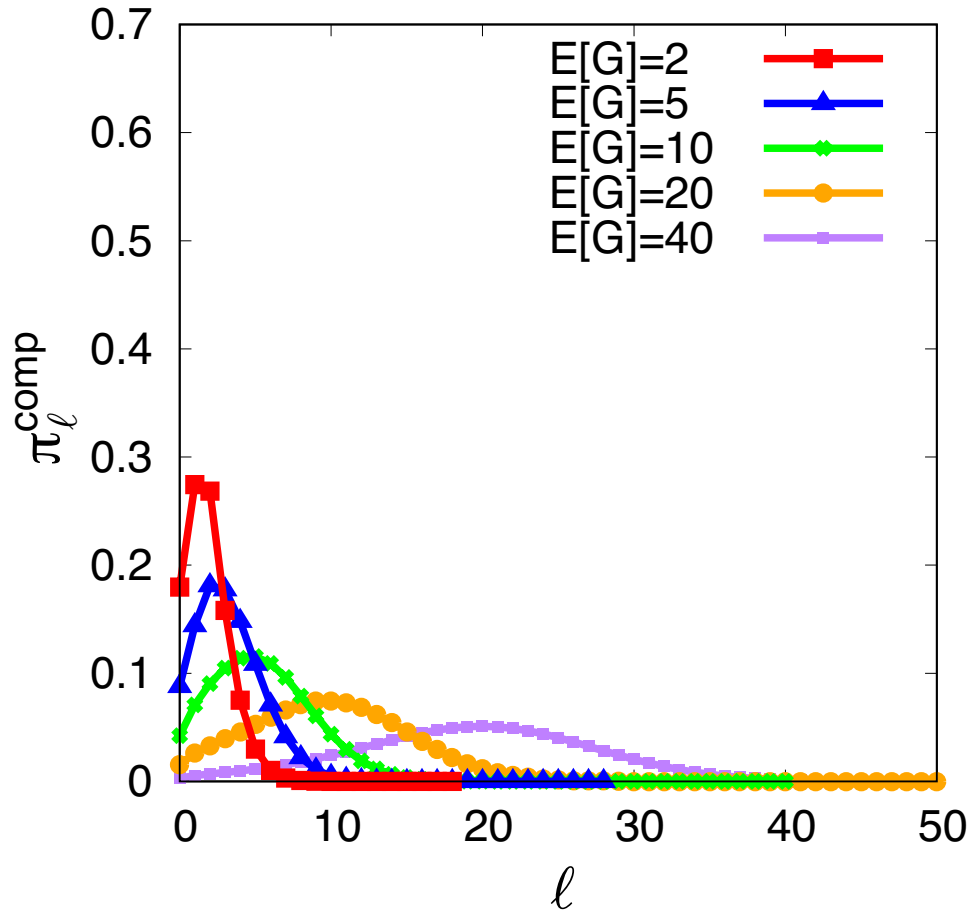
標準化した系内客数



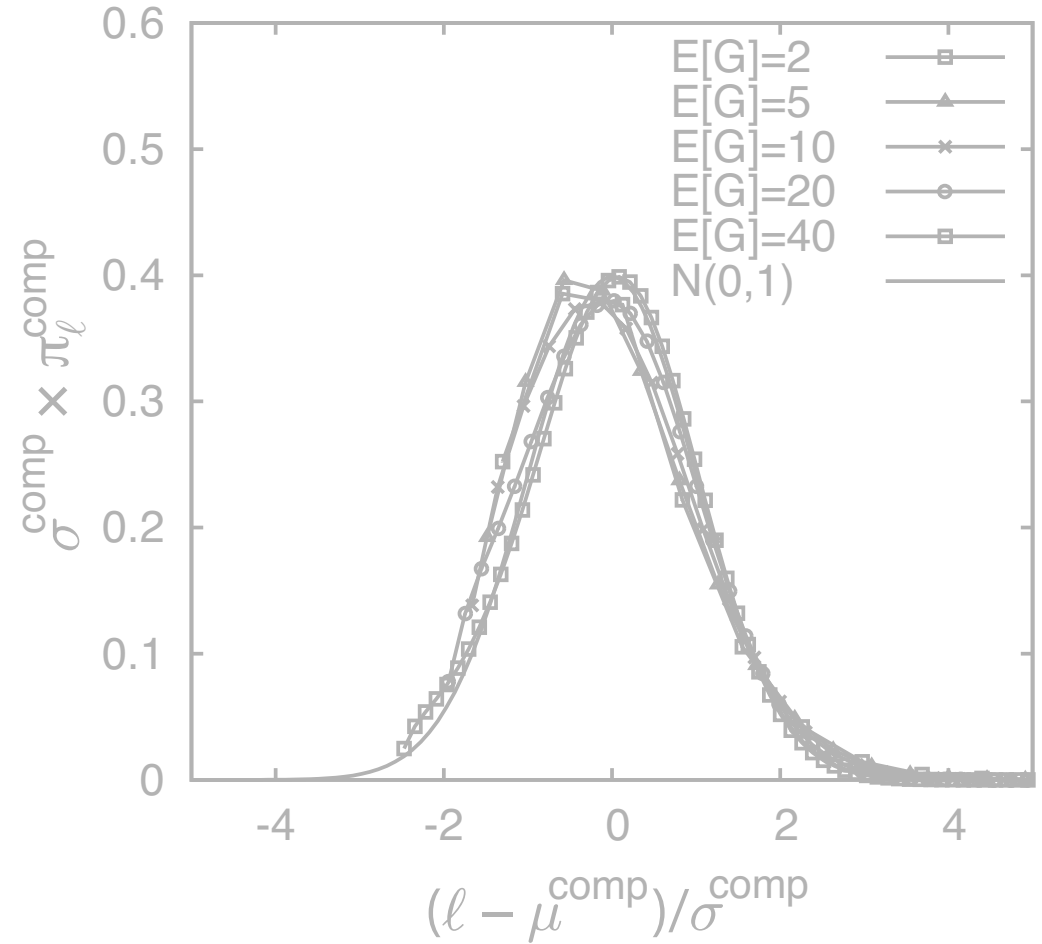
$\mu^{\text{comp}}, \sigma^{\text{comp}}$: L の平均と標準偏差

M/Er₅/1+Er₅ 待ち行列 ($E[H] = 1, \rho = 1.1$)

系内客数分布

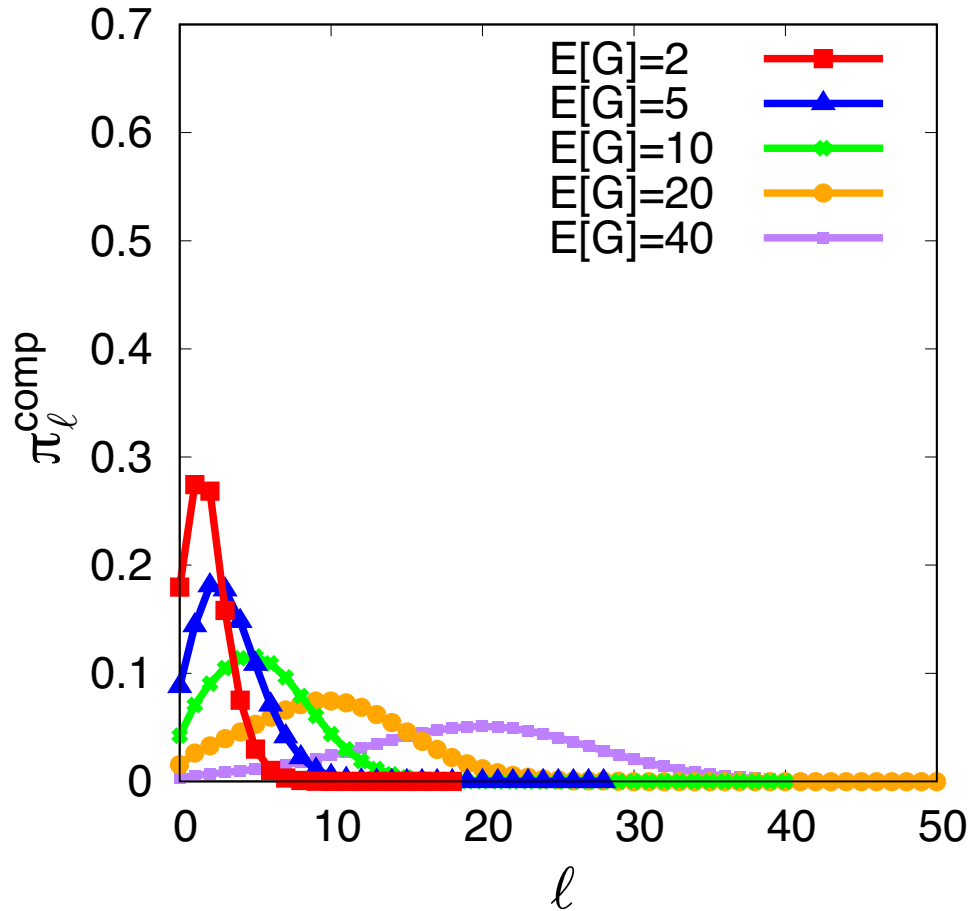


標準化した系内客数

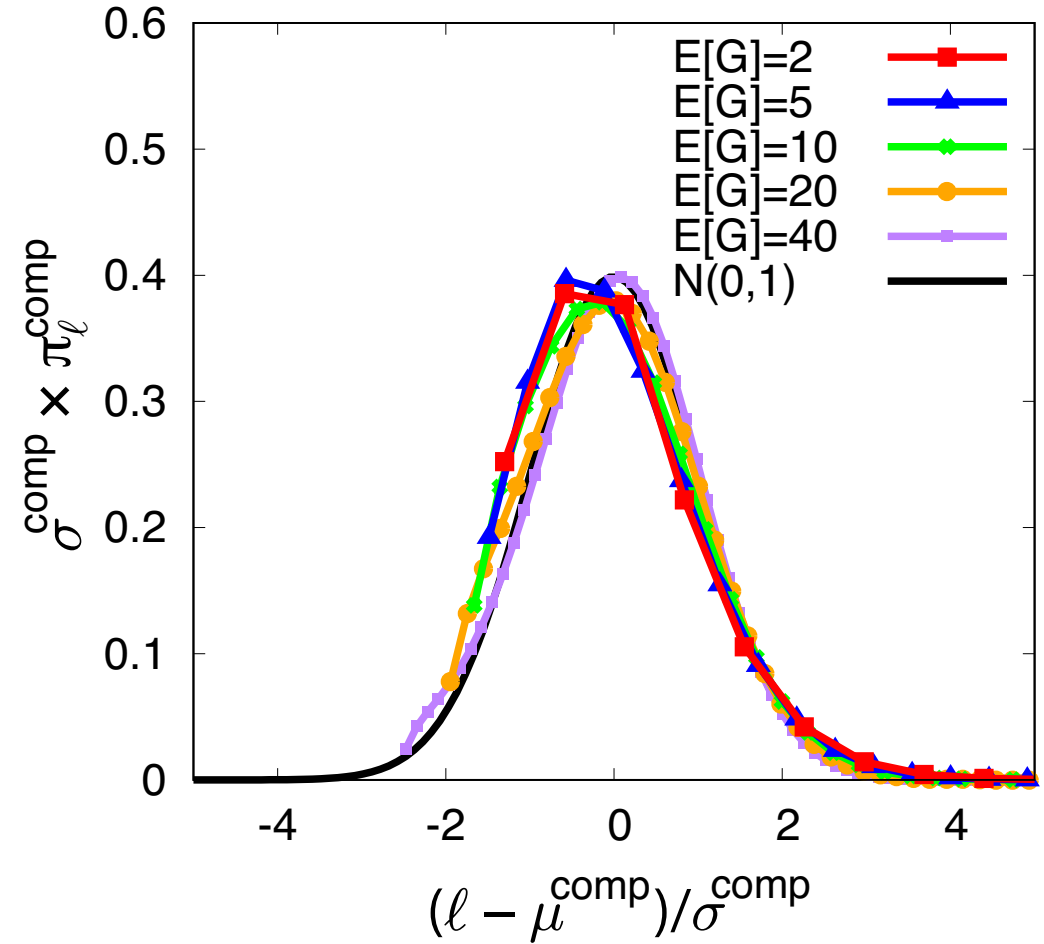


M/Er₅/1+Er₅ 待ち行列 ($E[H] = 1, \rho = 1.1$)

系内客数分布



標準化した系内客数



$\mu^{\text{comp}}, \sigma^{\text{comp}}$: L の平均と標準偏差

まとめ

M/G/1+PH における系内客数分布 π_ℓ の数値計算法を考察

- 系内客数分布を仮待ち時間分布を用いて表現
- 仮待ち時間に対する結果 [井上, 滝根 (2015)] を利用し,
 π_ℓ に対する数値計算アルゴリズムを構築
- 数値計算時に生じる切断誤差に対し, 計算可能な上界を導出

さらに,

- 数値例を通じて, $\rho > 1$ における π_ℓ を観察
 - ◆ 負荷が大きいつき, 標準化された π_ℓ は標準正規分布に漸近
 - ➡ これに対する理論的な証明は今後の課題